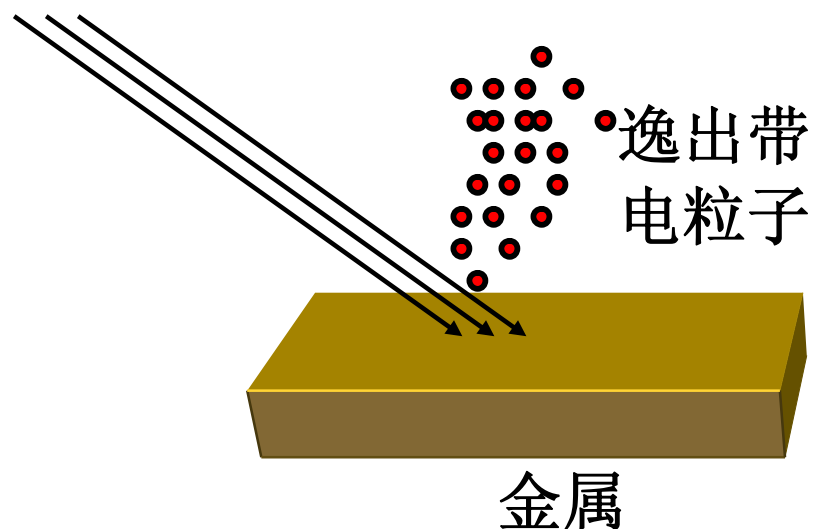


§ 2 光电效应 (photoelectric effect)



光照射某些金属时，
能从表面释放出电子的效应。

光电效应现象是赫兹
在1887年发现的，
当1896年J.J.汤姆孙
发现了电子之后，
勒纳德才证明所发出
的带电粒子是电子。

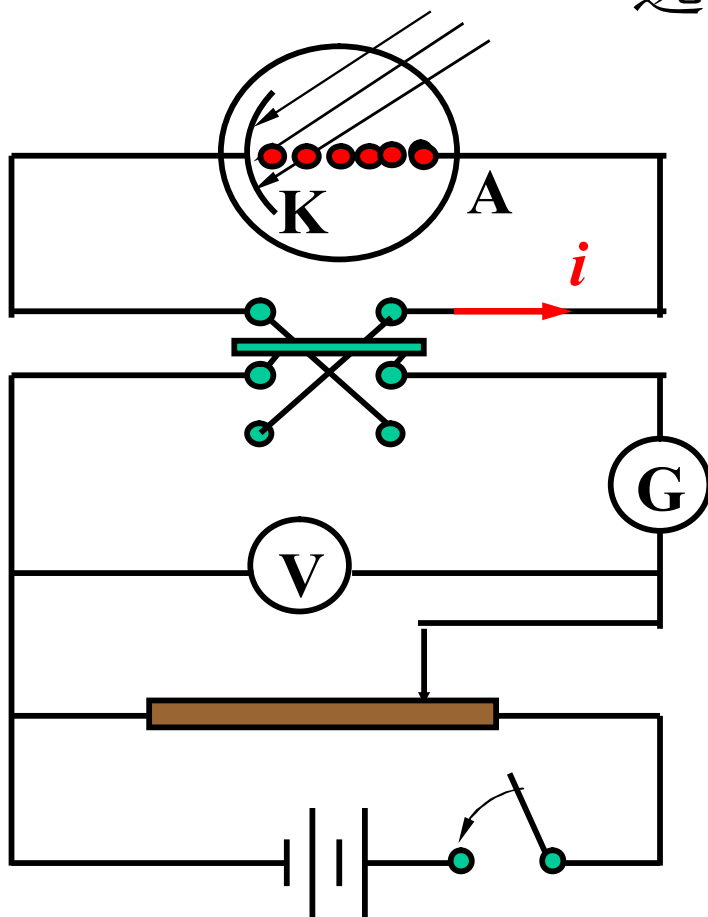


光电效应中产生的
电子称为“光电子”。

一 光电效应的实验规律



逸出的光电子具有一定初动能

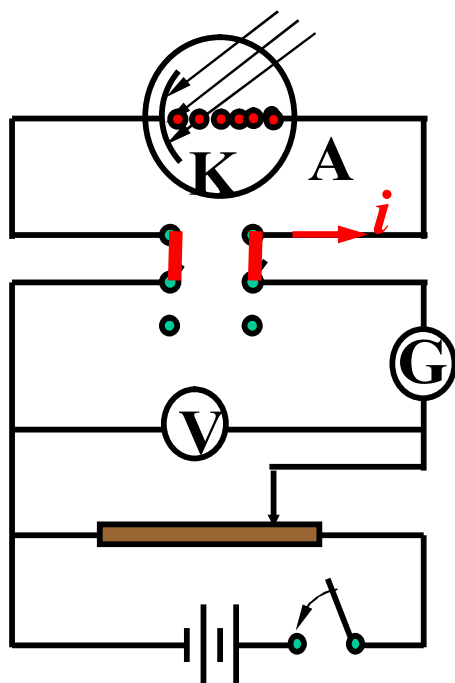


AK加正向电压时，
具有一定初速度的光电子
在电场加速下向阳极A运动，
就形成光电流。

AK加反向电压，
光电子在电场减速下向阳极A运动
如果反向电压小，
光电子仍能到达阳极，形成光电流；
当反向电压达到某值时，
具有最大初动能的光电子也不能
到达阳极A，就不能形成光电流。

注意：不能以光电流的有无来判断光电效应是否发生，
而应以是否有光电子逸出为判断光电效应是否发生标准。

1 红限频率的存在



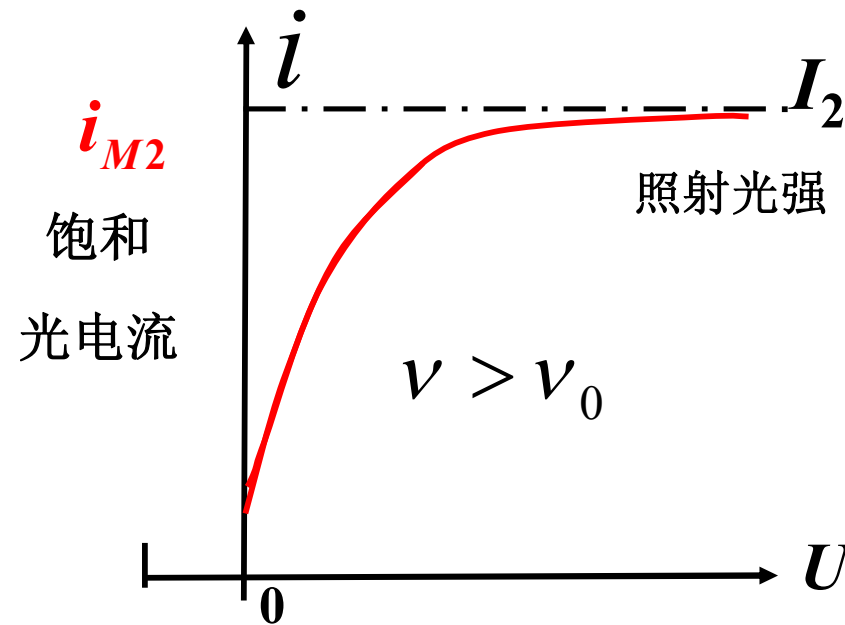
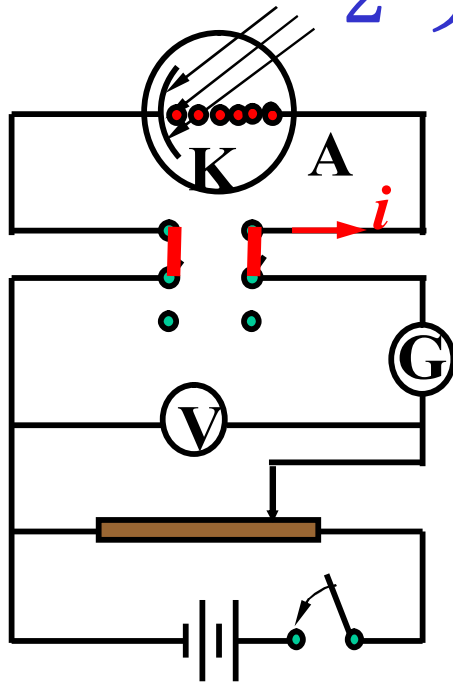
实验表明，只有当入射光的频率大于某一值 ν_0 时，才能从金属表面释放电子。

当入射光的频率 $\nu < \nu_0$ 时，无论光强多强、照射时间多长、加的正向电压多大，都不会有光电流产生，即不能发生光电效应。

而 $\nu > \nu_0$ 的光都能产生光电效应。这一频率 ν_0 称为红限频率，相应的光波长 λ_0 称为红限波长。

实验还表明，不同金属的红限频率不同。

2 光电流与正向电压的关系



当用大于红限频率的某固定频率的光照射某金属时，
光强一定时，光电流随加速电压的增加而增加；
当加速电压增加到一定值时，光电流不再增加，
而是达到一饱和值 i_m 。

饱和现象说明，此时，
单位时间内从阴极逸出的光电子已经全部阳极接收。

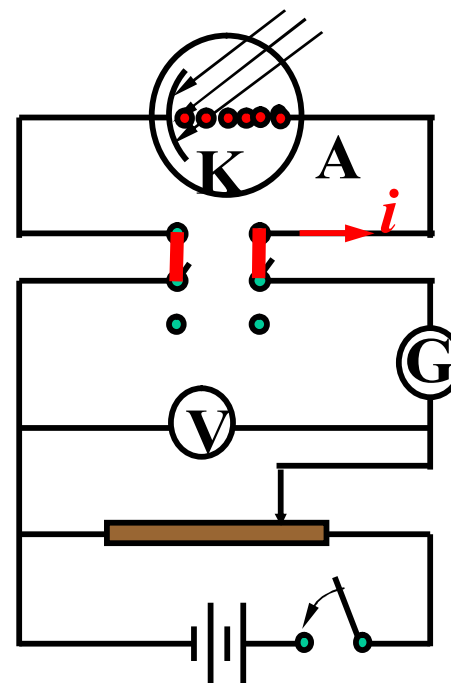
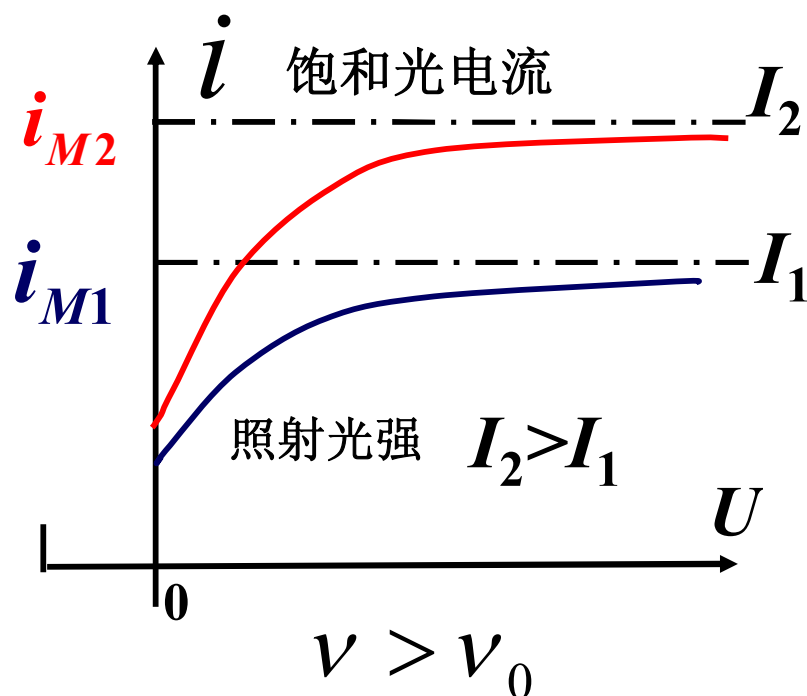
3 饱和电流与入射光强的关系



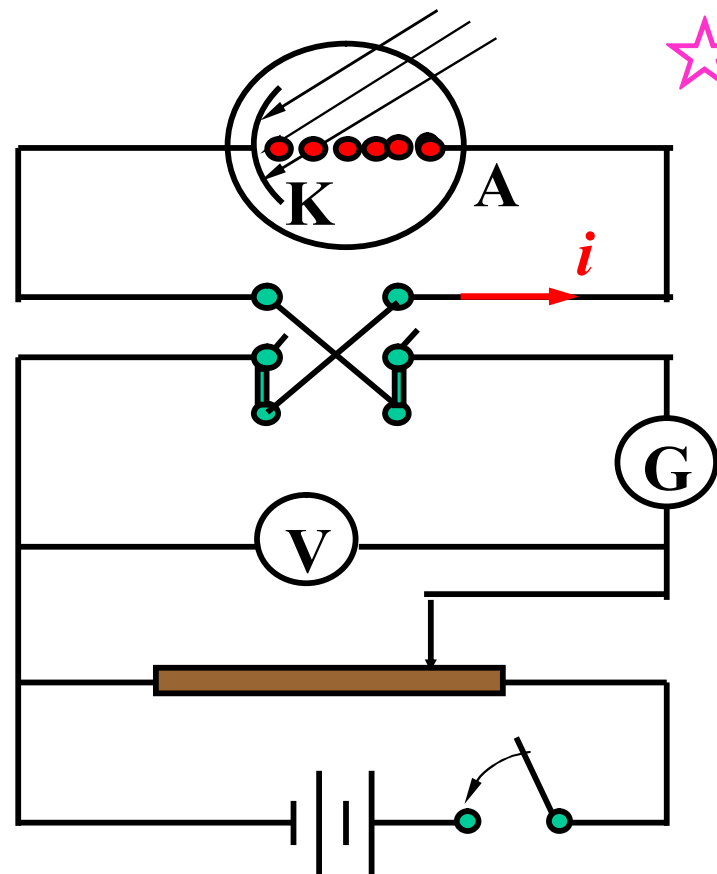
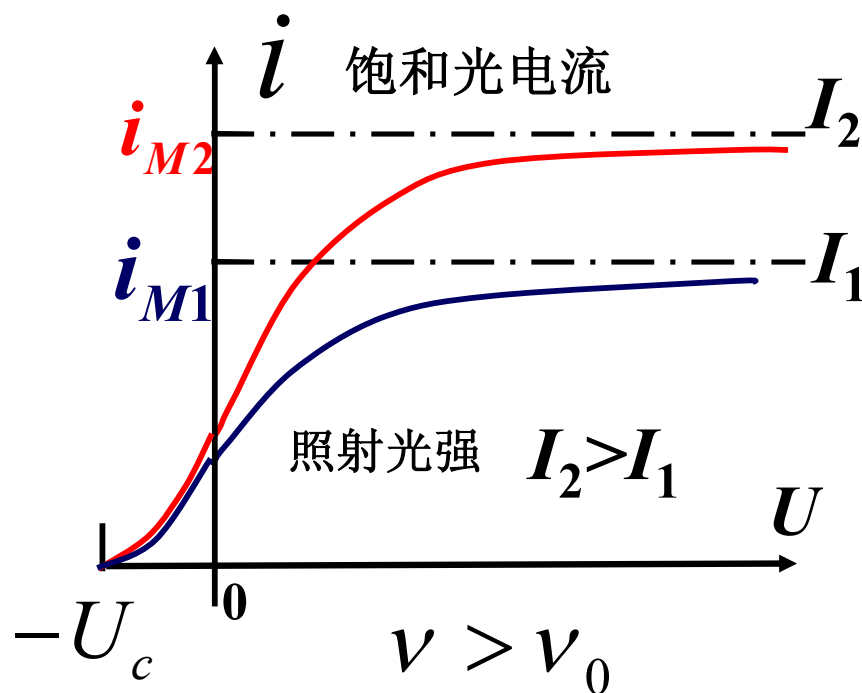
清华理工

当用大于红限频率的某固定频率的光照射某金属时，

实验表明，饱和电流 i_m 与光强 I 成正比。



4 截止电压



当反向（减速电压）增加时，电流并不为零。
仅当反向电压等于某值 U_c 时，电流为零；
再增加反向电压，电流一直为零。
这一电压值 U_c 称为截止电压。

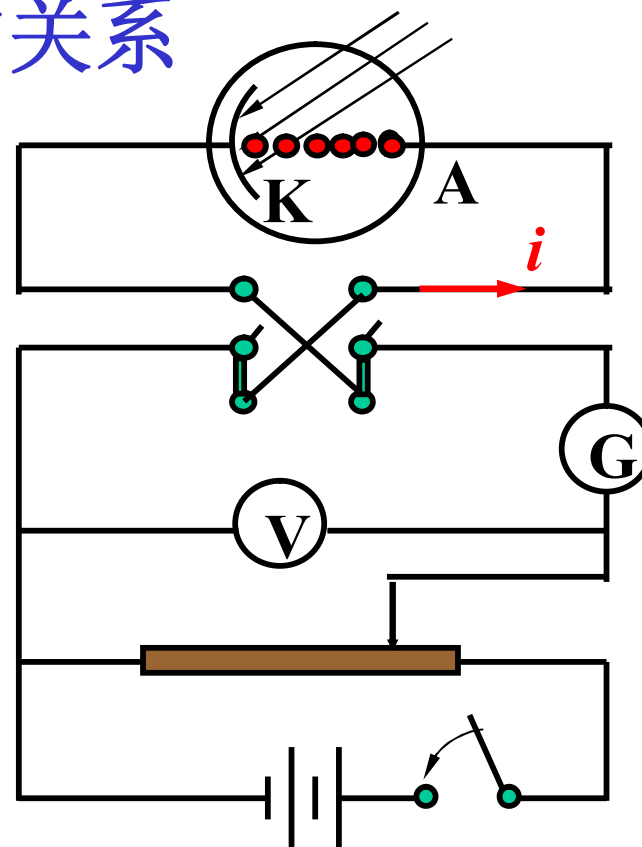
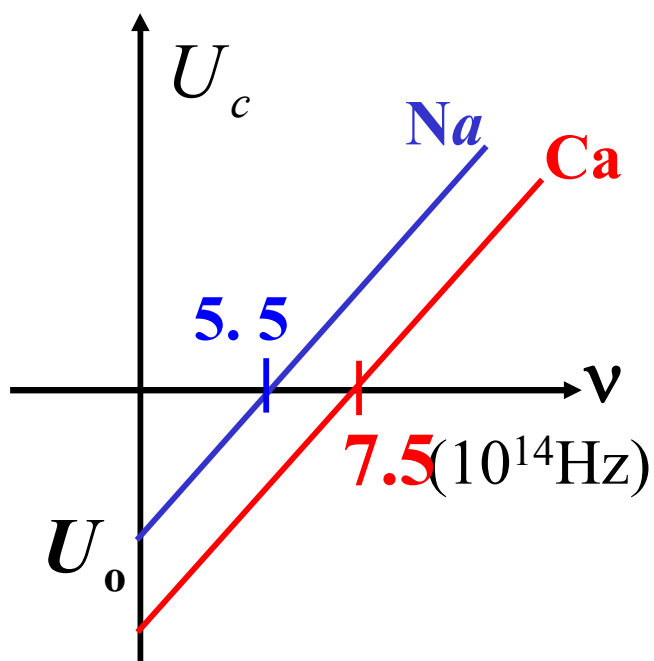


截止电压的存在说明，此时，
从阴极K逸出的具有最大初动能的光电子，
由于受到外加电场的阻碍，
也不能到达阳极A了。

根据能量分析，得到
光电子从阴极K逸出时的最大初动能
与截止电压的关系

$$\frac{1}{2}mV_m^2 = eU_c$$

5 截止电压与入射光频率的关系



截止电压与入射光频率成线性关系。
而且，对于不同的金属材料，其直线平行。

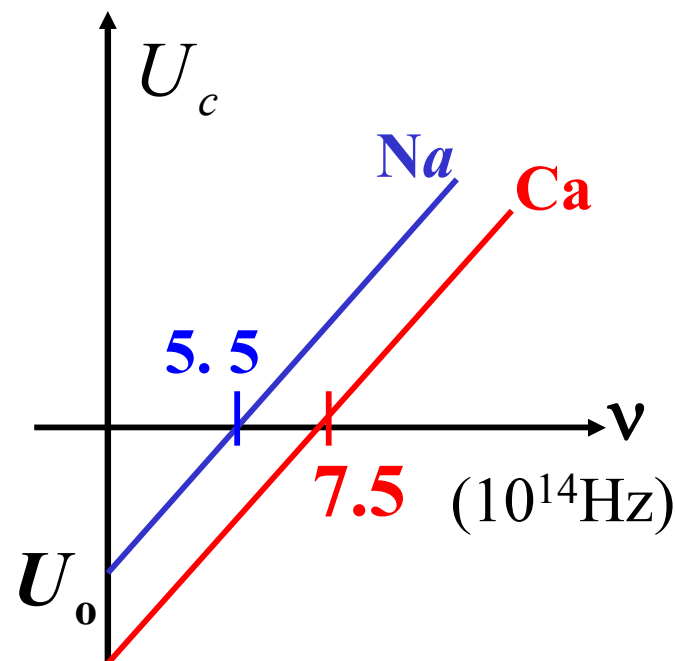
$$U_c = k\nu - U_0$$

k 是普适常数与材料无关
不同材料 U_0 值不同

$$U_c = k\nu - U_0$$

$$\frac{1}{2}mV_m^2 = eU_c$$

$$\frac{1}{2}mV_m^2 = ek\nu - eU_0$$



可见，入射光的频率必须大于某一值，
才能使 $\frac{1}{2}mV_m^2 \geq 0$ ，

电子才能逸出金属表面成为光电子，
才能发生光电效应。

这一极限值就是红限频率

$$\nu_0 = \frac{U_0}{k}$$



6 光电效应与光照时间的关系

光电子的逸出，

几乎是在光照射到金属表面的那一刻发生的，
其延时在 $10^{-9} s$ 以下。

即使用极弱的光，只要光频率大于红限频率，
光电效应的发生几乎与光照时间无关。

二 光电效应经典理论解释的困难



经典理论认为：光是一种电磁波。

经典理论无法解释：

- 1 光电子能否逸出的问题，
即无法解释“红限”问题。
- 2 光电子的初动能与入射光的频率成线性关系，
而与入射光强无关。
- 3 光电子的逸出几乎与光照时间无关

经典理论无法对光电效应的本质问题给出解释

光的波动理论在光电效应的实验结果上遇到了“灾难”。

关键时刻，又是伟大的爱因斯坦挺身而出！

三 爱因斯坦的光子理论



当普朗克还在寻找他的能量子的经典理论的根源时，爱因斯坦却大大发展了能量子的概念。

爱因斯坦光量子假设（1905）：

1 电磁辐射由以光速 c 运动的局限于空间某一小范围的光的能量子单元——光子所组成，

$$\text{光子能量 } \varepsilon = h\nu$$

2 光量子具有“整体性”

光的发射、传播、吸收都是量子化的。

3 一束光就是以速率 c 运动的一束光子流。

$$\text{光强 } \underline{I = N \cdot h\nu} \quad N: \text{光子数通量}$$



四 光子理论对光电效应的解释

一个光子将全部能量交给一个电子，
电子克服金属对它的束缚，
从金属中逸出。

由能量守恒可得
一个电子逸出金属表面后的最大初动能应为

$$\frac{1}{2}mv_m^2 = h\nu - A$$

A : 逸出功

$$\frac{1}{2}mv_m^2 = h\nu - A$$



● $h\nu > A$ 时，电子一次从光子处获得能量，克服金属的逸出功，从金属表面逸出，能产生光电效应；

当 $\nu < A/h$ 时，电子一次从光子处获得能量不足以克服金属的逸出功，电子通过热运动很快释放吸收的能量，不能从金属表面逸出，不发生光电效应。

所以存在：红限频率

$$\nu_0 = \frac{A}{h}$$

$$I = N\varepsilon = Nh\nu$$



如果光强一定，单位时间内到达阴极K的光子数一定，单位时间内从阴极K上打落的光电子数一定。

当加速电压较小时，由于其他的阻碍作用，从阴极K上打落的光电子并没有全部到达阳极A，因此，光电流较弱。

当加速电压逐渐增加时，能够到达阳极A的光电子数随之增加，因此，光电流随加速电压的增加而增加。

当单位时间内从阴极K上打落的光电子全部被加速电压运送到阳极A时，再增大加速电压，能够到达阳极A的光电子数不会增加了，

因此，存在饱和电流 i_m 。

$$I = N\varepsilon = Nh\nu$$



如果入射光强增大，
单位时间内到达阴极K的
光子数随之成正比增加，
单位时间内从阴极K上打落的
光电子数随之成正比增加。

因此，饱和电流 i_m 与光强 I 成正比。

$$\frac{1}{2}mV_m^2 = h\nu - A$$

$$\frac{1}{2}mV_m^2 = eU_c$$



用大于红限频率的某固定频率的光照射某金属时，从阴极K上打落的光电子还具有一定的初动能。

尽管光电子的运动方向各异，但总还是有一部分光电子在没有加速电压的作用下，也会到达阳极A，从而形成光电流。

如果加一个反向减速电压，

阻止光电子向阳极A运动，则光电流就会减小。

当反向减速电压达到某一数值 U_c 时，

连具有最大初动能（沿电场方向的最大初动量）的光电子都不能到达阳极A时，光电流才为零。



$$\frac{1}{2}mV_m^2 = h\nu - A$$

$$\frac{1}{2}mV_m^2 = eU_c$$



$$U_c = \frac{h}{e}\nu - \frac{A}{e}$$

由于 e 和 h 都是与金属材料无关的常数，

A 是与金属材料有关的常数，

因此，截止电压与入射光频率成线性关系。

而且，直线的斜率 $k = h/e$ 与金属材料无关，

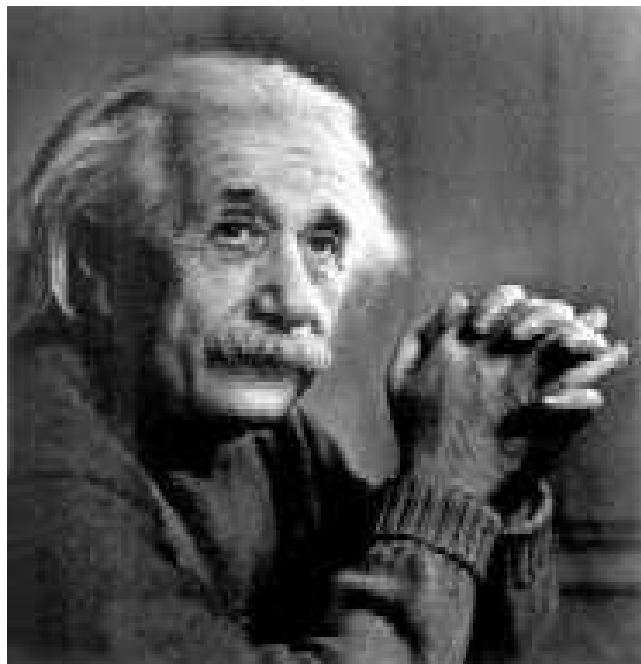
对于所有金属材料，直线是平行的；

但由于金属的逸出功 A 与金属材料有关，

对于不同的金属材料，直线的截距不同。



一个电子一次吸收一个
具有足够能量的光子
而逸出金属表面
是不需要多长时间的，
因此，光电效应的延迟时间极短。



爱因斯坦的“光子”假说，
完全解释了光电效应。

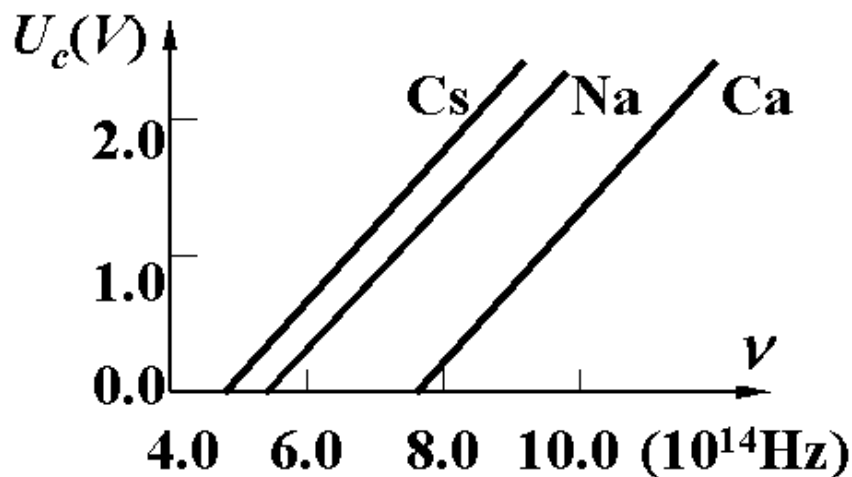
光子概念被证明是正确的。

一束光波就是一束光子流，

光子能量 $\varepsilon = h\nu$

光波在辐射、传播、吸收过程中
都是量子化的

1916年密立根 (R.A.Milikan) 做了精确的光电效应实验，利用 $U_c - \nu$ 的直线斜率 K ，定出 $h = 6.56 \times 10^{-34} \text{J.s}$ 。



$$\left. \begin{aligned} \frac{1}{2} m v_m^2 &= h \nu - A \\ eU_c &= eK \nu - eU_0 \end{aligned} \right\}$$

$\longrightarrow h = eK$

这和当时用其他方法定出的 h 符合得很好。从而进一步证实了爱因斯坦的光子理论。尽管如此，密立根还是认为光子理论是完全站不住脚的。可见，一个新思想要被人们接受是相当困难的。



1879 — 1955

爱因斯坦由于对光电效应的理论解释和对理论物理学的贡献，获得1921年诺贝尔物理学奖



1868 — 1953

密立根由于研究基本电荷和光电效应，特别是通过著名的油滴实验，证明电荷有最小单位，获得1923年诺贝尔物理学奖

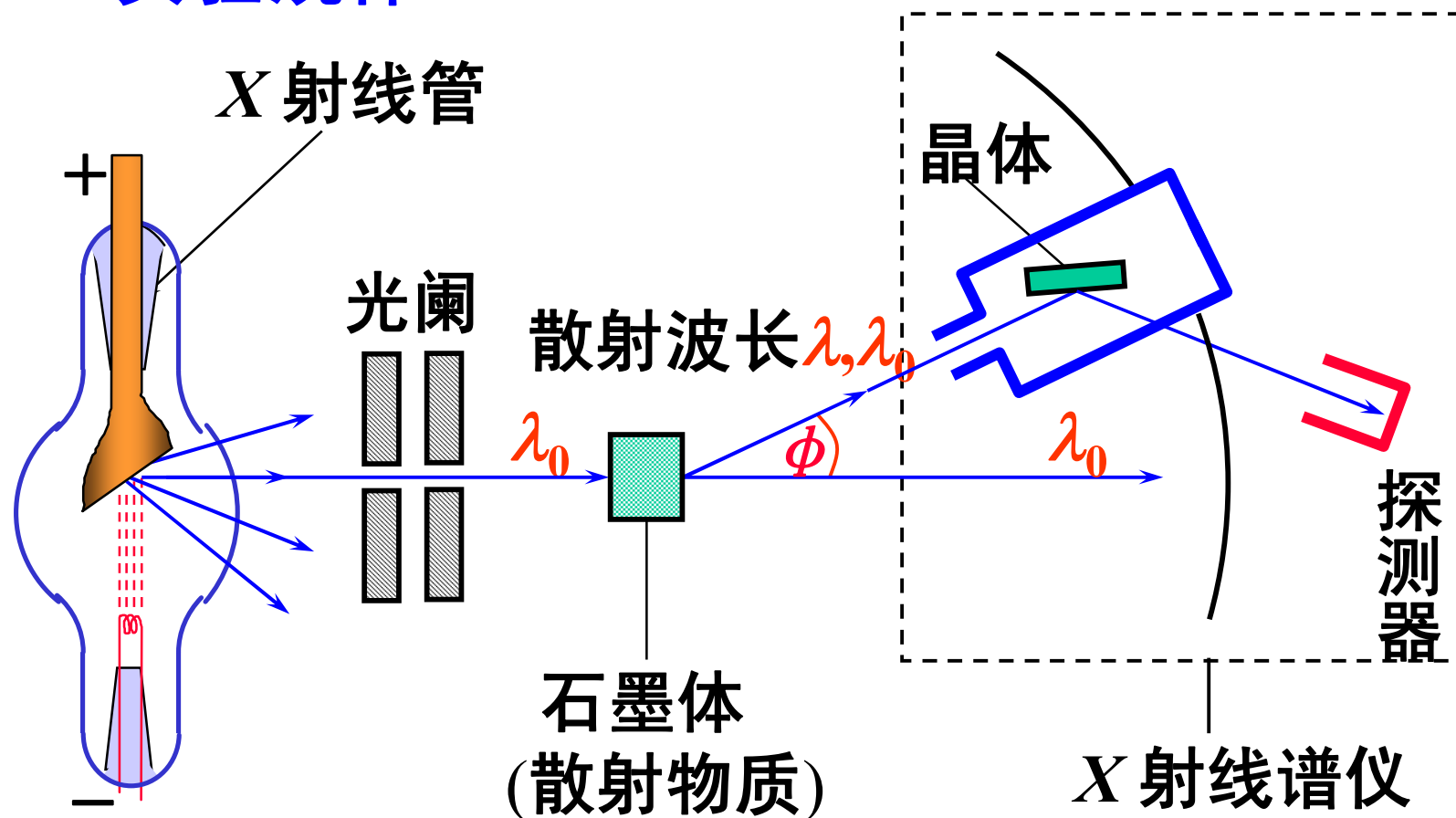


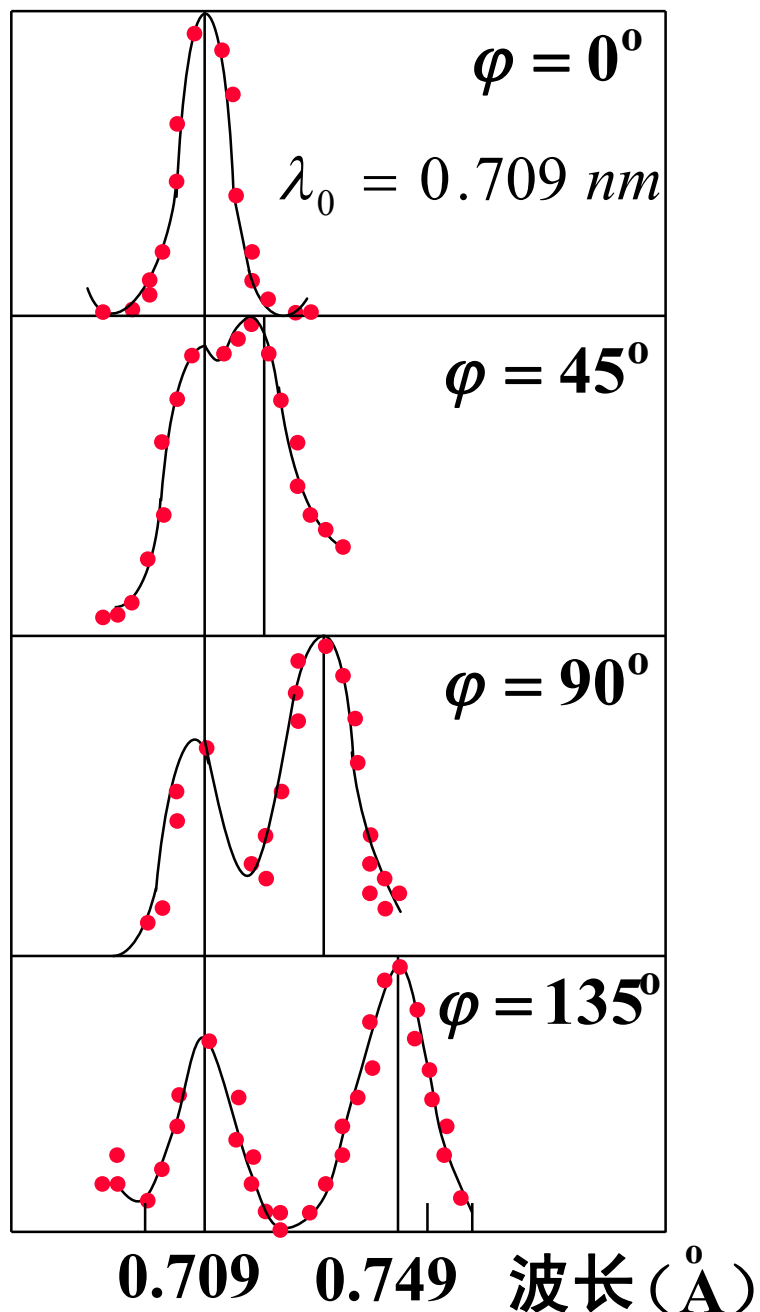
五 康普顿效应



1922–23年康普顿研究了X射线在石墨上的散射

1、实验规律





散射出现了 $\lambda \neq \lambda_0$ 的现象，
称为康普顿散射。

散射曲线的三个特点：

- 1、除原波长 λ_0 外，出现了移向长波方面的新的散射波长 λ 。
- 2、新波长 λ 随散射角 φ 的增大而增大。
- 3、当散射角增大时，原波长的谱线强度降低，而新波长的谱线强度升高。



实验表明：新散射波长 $\lambda >$ 入射波长 λ_0 ，
波长的偏移 $\Delta\lambda = \lambda - \lambda_0$ 只与散射角 φ 有关，
与散射物质无关。实验规律是：

$$\Delta\lambda = \lambda - \lambda_0 = \lambda_c (1 - \cos \varphi) = 2\lambda_c \sin^2 \frac{\varphi}{2}$$

$$\lambda_c = 0.0241\text{\AA} = 2.41 \times 10^{-3}\text{nm} \quad (\text{实验值})$$

称为电子的康普顿波长

只有当入射波长 λ_0 与 λ_c 可比拟时，康普顿
效应才显著，因此要用X射线才能观察到。



经典理论认为：

入射光

要么被晶体吸收

要么被晶体衍射

要么安全通过晶体

无论是被晶体衍射

还是安全通过晶体

光的频率、或者说光的波长不变。

2、康普顿效应的理论解释



经典电磁理论难解释

为什么有 $\lambda \neq \lambda_0$ 的散射，

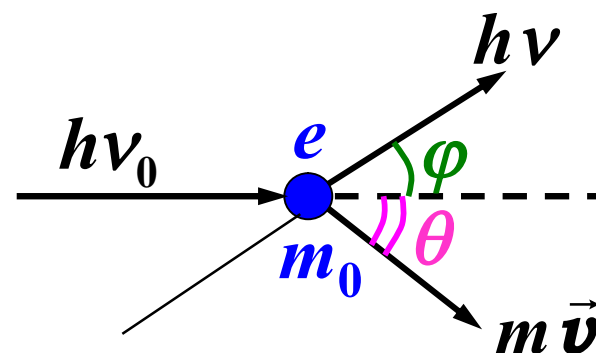
康普顿用光子理论做了成功的解释：

●X射线光子与“静止”的“自由电子”弹性碰撞

（ 波长 1\AA 的X射线， 其光子能量 $\varepsilon \sim 10^4 \text{ eV}$ ，
外层电子束缚能 $\sim \text{eV}$ ，室温下 $kT \sim 10^{-2} \text{ eV}$ ）



●碰撞过程中能量与动量守恒



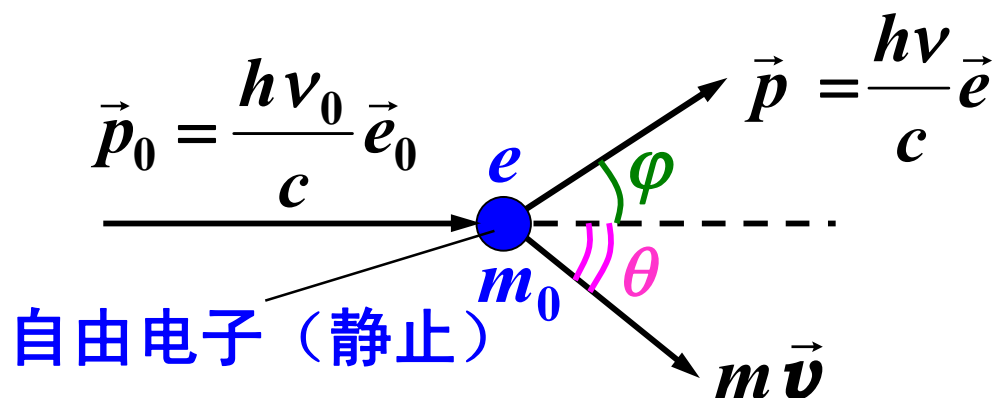
自由电子（静止）

碰撞→光子把部分能量传给电子

→ 光子的能量减少↓

→ 散射X射线频率减小↓

→ 散射X射线波长增大↑



$$\left\{ \begin{array}{l} \text{能量守恒} \quad h\nu_0 + m_0c^2 = h\nu + mc^2 \\ \text{动量守恒} \quad \frac{h\nu_0}{c} \vec{e}_0 = \frac{h\nu}{c} \vec{e} + m\vec{v} \\ \text{反冲电子质量} \quad m = m_0 / \sqrt{1 - v^2 / c^2} \end{array} \right.$$

$$\text{解得: } \Delta\lambda = \lambda - \lambda_0 = \frac{c}{\nu} - \frac{c}{\nu_0} = \frac{h}{m_0c} (1 - \cos\varphi) = \lambda_c (1 - \cos\varphi)$$

$$\lambda_c = \frac{h}{m_0c} = \frac{6.63 \times 10^{-34}}{9.1 \times 10^{-31} \times 3 \times 10^8} \text{ m} = 2.43 \times 10^{-3} \text{ nm}$$

等于实验值

$$\Delta\lambda = \lambda - \lambda_0 = \frac{h}{m_0 c} (1 - \cos \varphi)$$



从上述分析可知，入射光子与电子碰撞时，把一部分能量传给了电子。

因而光子能量减少，频率降低，波长变长。

波长偏移 $\Delta\lambda$ 与散射角 φ 的关系式

也与实验结果定量地符合。

上式还表明，波长的偏移 $\Delta\lambda$ 与散射物质

以及入射X射线的波长 λ_0 无关，

而只与散射角 φ 有关。

这一规律也已为实验证实。



3、康普顿散射实验的意义

- 支持了“光量子”概念，进一步证实了

$$\varepsilon = h\nu$$

- 首次实验证实了爱因斯坦提出的“光量子具有动量”的假设

$$p = \varepsilon / c = h\nu / c = h / \lambda$$

- 证实了在微观领域的单个碰撞事件中，动量和能量守恒定律仍然是成立的。

康普顿获得1927年诺贝尔物理学奖。

4、讨论几个问题（阅读）

(1) 为什么康普顿效应中的电子不能像光电效应那样吸收光子，而是散射光子？

假设自由电子能吸收光子，则有

$$\left. \begin{aligned} h\nu_0 + m_0c^2 &= mc^2 \\ \frac{h\nu_0}{c} \vec{e}_0 &= m\mathbf{v}\vec{e}_0 \\ m &= m_0 / \sqrt{1 - \mathbf{v}^2 / c^2} \end{aligned} \right\} 1 - \frac{v}{c} = \sqrt{1 - \frac{v^2}{c^2}} \rightarrow v = c$$

违反相对论！

上述过程不能同时满足能量、动量守恒。

因此：自由电子不能吸收光子，只能散射光子。

(2) 为什么在光电效应中不考虑动量守恒？

在光电效应中，
入射的是可见光和紫外线，光子能量低，
电子与整个原子的联系不能忽略，

原子也要参与动量交换，
光子－电子系统动量不守恒。 (阅读)

但原子质量较大，能量交换可忽略，

∴光子－电子系统仍可认为能量是守恒的。

(3) 为什么可见光观察不到康普顿效应？

可见光光子能量不够大， (阅读)

原子内的电子不能视为自由，

所以可见光不能产生康普顿效应。

只有用X射线，
才能观察到显著的康普顿效应。

在光电效应中，
入射光是可见光或紫外线，
康普顿效应不显著。

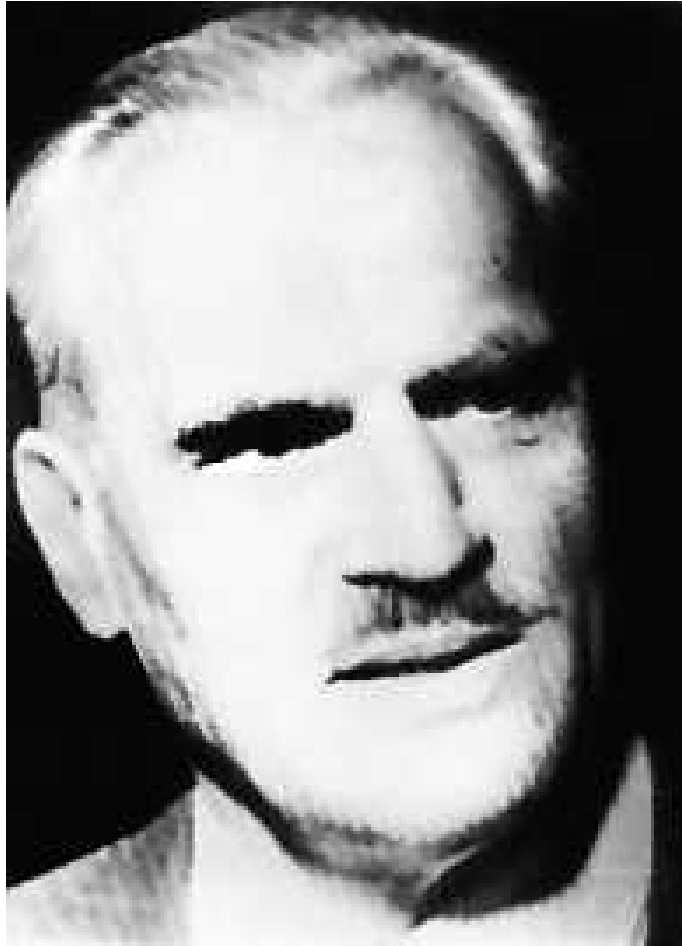
(4) 为什么康普顿散射中还有原波长 λ_0 呢？

这是因为光子还可与石墨中被原子核束缚得很紧的电子发生碰撞。

内层电子束缚能 $10^3 \sim 10^4 \text{eV}$ ，不能视为自由，而应视为与原子是一个整体。所以这相当于光子和整个原子碰撞。 $\because m_{\text{原子}} \gg m_{\text{光子}}$

\therefore 在弹性碰撞中，入射光子几乎不损失能量，即 散射光子波长不变，散射线中还有与原波长相同的射线。

(阅读)



康普顿
(A. H. Compton)
美国人(1892-1962)



六 光电效应的应用



由于光电效应中的光电流与入射光强成正比，
可用于实现光信号与电信号之间的相互转换，
应用于电影、电视及其它现代通信技术。
光电效应的瞬时性，在自动控制和自动计数
等方面也有极为广泛的用途。

- (1)光电管和固态光电探测器
- (2)光电倍增管
- (3)光电成像器件
- (4)光敏电阻

例19—1 用单色光照射某一金属，产生光电效应。 ☆

如果入射光的波长从 $\lambda_1 = 400nm$ 减到 $\lambda_2 = 360nm$ 。

截止电压变化多少？数值是加大还是减少？

解：截止电压的含义是：

在发生光电效应的前题下，即照射光的频率大于红限频率的条件下（根据爱因斯坦方程，逸出金属表面的光电子具有一定的初动能），加上一个反向电压，使光电子在这一反向电场中减速，连具有最大初动能的光电子也刚好不能到达阳极。

或者说，光电子的最大初动能等于光电子到达阳极这一过程中，电场力对光电子所作的功。



$$\underline{\frac{1}{2}mV_m^2 = e|U_c|} \quad \underline{h\nu = \frac{1}{2}mV_m^2 + A}$$

$$\Rightarrow \underline{e|U_c| = h\nu - A = \frac{hc}{\lambda} - A}$$

$$e|U_{c1}| = \frac{hc}{\lambda_1} - A \quad e|U_{c2}| = \frac{hc}{\lambda_2} - A$$

$$\underline{\Delta|U_c| = |U_{c2}| - |U_{c1}| = \frac{hc}{e} \left(\frac{1}{\lambda_2} - \frac{1}{\lambda_1} \right) = 0.345(V)}$$

反向电压在数值上是加大的。波长变短，
则光频率增大，因此，光子的能量增加，
光电子的最大初动能增加，
反向电压需要增大，
才能使最大初动能的光电子不能到达阳极。

例19—2 求下述几种辐射的光子的能量、动量和质量，
并与经过的电压 $U = 100V$ 加速后的
电子的动能、动量和质量相比较。



(1) $\lambda_1 = 700nm$ 的红光；

(2) $\lambda_2 = 0.071nm$ 的X射线；

(3) $\lambda_3 = 0.00124nm$ 的 γ 射线。

解：由于经过电压加速后，
电子的速度不是很大，可以不考虑相对论效应

电子的动能为： $E_e = eU = 100eV$

电子的质量： $m_e \approx m_0 = 9.11 \times 10^{-31} kg$

电子的动量为： $p_e = m_e v = \sqrt{2m_e E_e} \approx 5.40 \times 10^{-24} kg \cdot m \cdot s^{-1}$

(1) 对于 $\lambda_1 = 700nm$ 的光子（红光），计算得到



$$\varepsilon_1 = h\nu_1 = \frac{hc}{\lambda_1} = \frac{6.63 \times 10^{-34} \times 3 \times 10^8}{700 \times 10^{-9}} = 1.78(eV)$$

$$p_1 = \frac{h}{\lambda_1} = \frac{6.63 \times 10^{-34}}{700 \times 10^{-9}} = 9.47 \times 10^{-28} kg \cdot m \cdot s^{-1}$$

$$m_1 = \frac{h}{c\lambda_1} = \frac{6.63 \times 10^{-34}}{3 \times 10^8 \times 700 \times 10^{-9}} = 3.16 \times 10^{-36} kg$$

$$\frac{\varepsilon_1}{E_e} = \frac{1.78(eV)}{100 eV} \approx \underline{2\%}$$

$$\frac{p_1}{p_e} = \frac{9.47 \times 10^{-28}}{5.40 \times 10^{-24}} \approx \underline{2 \times 10^{-4}}$$

$$\frac{m_1}{m_e} = \frac{3.16 \times 10^{-36}}{9.11 \times 10^{-31}} \approx \underline{3 \times 10^{-6}}$$

(2)对于 $\lambda_2 = 0.071nm$ 的光子 (X射线), 计算得到 ☆

$$\varepsilon_2 = h\nu_2 = \frac{hc}{\lambda_2} = 1.75 \times 10^4 (eV)$$

$$p_2 = \frac{h}{\lambda_2} = 9.34 \times 10^{-24} kg \cdot m \cdot s^{-1}$$

$$m_2 = \frac{h}{c\lambda_2} = 3.11 \times 10^{-32} kg$$

$$\underline{\frac{\varepsilon_2}{E_e} \approx 175}$$

$$\underline{\frac{p_2}{p_e} \approx 2}$$

$$\underline{\frac{m_2}{m_e} \approx 3\%}$$

(3)对于 $\lambda_3 = 0.00124nm$ 的光子 (γ 射线)



$$\varepsilon_3 = h\nu_3 = \frac{hc}{\lambda_3} = 1.00 \times 10^6 (eV)$$

$$p_3 = \frac{h}{\lambda_3} = 5.35 \times 10^{-22} kg \cdot m \cdot s^{-1}$$

$$m_3 = \frac{h}{c\lambda_3} = 1.78 \times 10^{-30} kg$$

$$\frac{\varepsilon_3}{E_e} \approx 10^4$$

$$\frac{p_3}{p_e} \approx 99$$

$$\frac{m_3}{m_e} \approx 2$$

例19—3 设康普顿散射效应中，



入射的X射线的波长为 $\lambda_0 = 0.0700nm$ ，

在与入射的X射线垂直方向观察。求：

(1) 反冲电子的动能；

(2) 反冲电子的运动方向与
入射的X射线的方向之间的夹角。

解： 散射的X射线的波长

$$\varphi = 90^0$$

$$\lambda = \lambda_0 + \frac{h}{m_0 c} (1 - \cos \varphi) = \lambda_0 + \lambda_c (1 - \cos \varphi)$$

$$= \lambda_0 + \lambda_c = 0.0700 + 0.0024 = \underline{0.0724nm}$$



(1) 根据能量守恒:

$$m_{e0}c^2 + h\nu_0 = m_e c^2 + h\nu$$

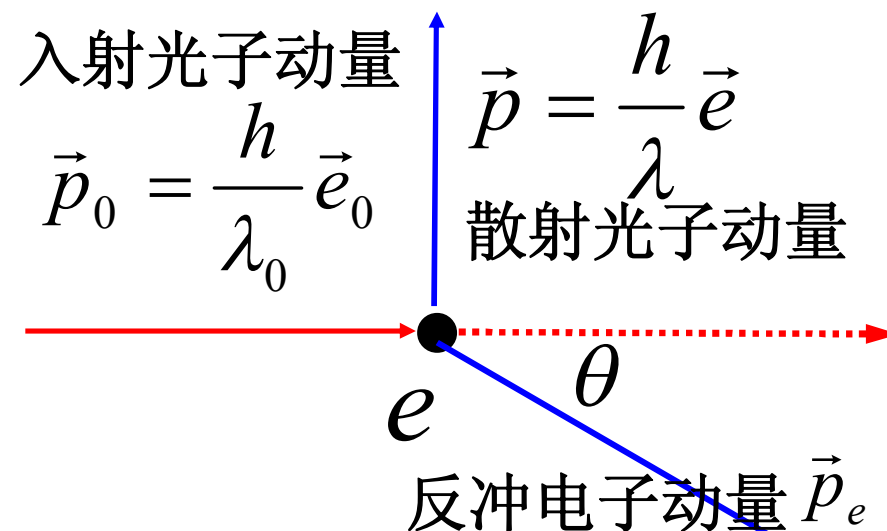
反冲电子的动能为

$$E_k = m_e c^2 - m_{e0} c^2 = h\nu_0 - h\nu$$
$$= hc\left(\frac{1}{\lambda_0} - \frac{1}{\lambda}\right) = \underline{9.42 \times 10^{-17} (J)}$$

(2) 根据动量守恒: $\vec{p}_0 + 0 = \vec{p} + \vec{p}_e$



$$\begin{cases} p_0 = p_e \cos \theta \\ p = p_e \sin \theta \end{cases}$$



反冲电子的动量为

$$p_e = \sqrt{p_0^2 + p^2} = \sqrt{\left(\frac{h}{\lambda_0}\right)^2 + \left(\frac{h}{\lambda}\right)^2}$$

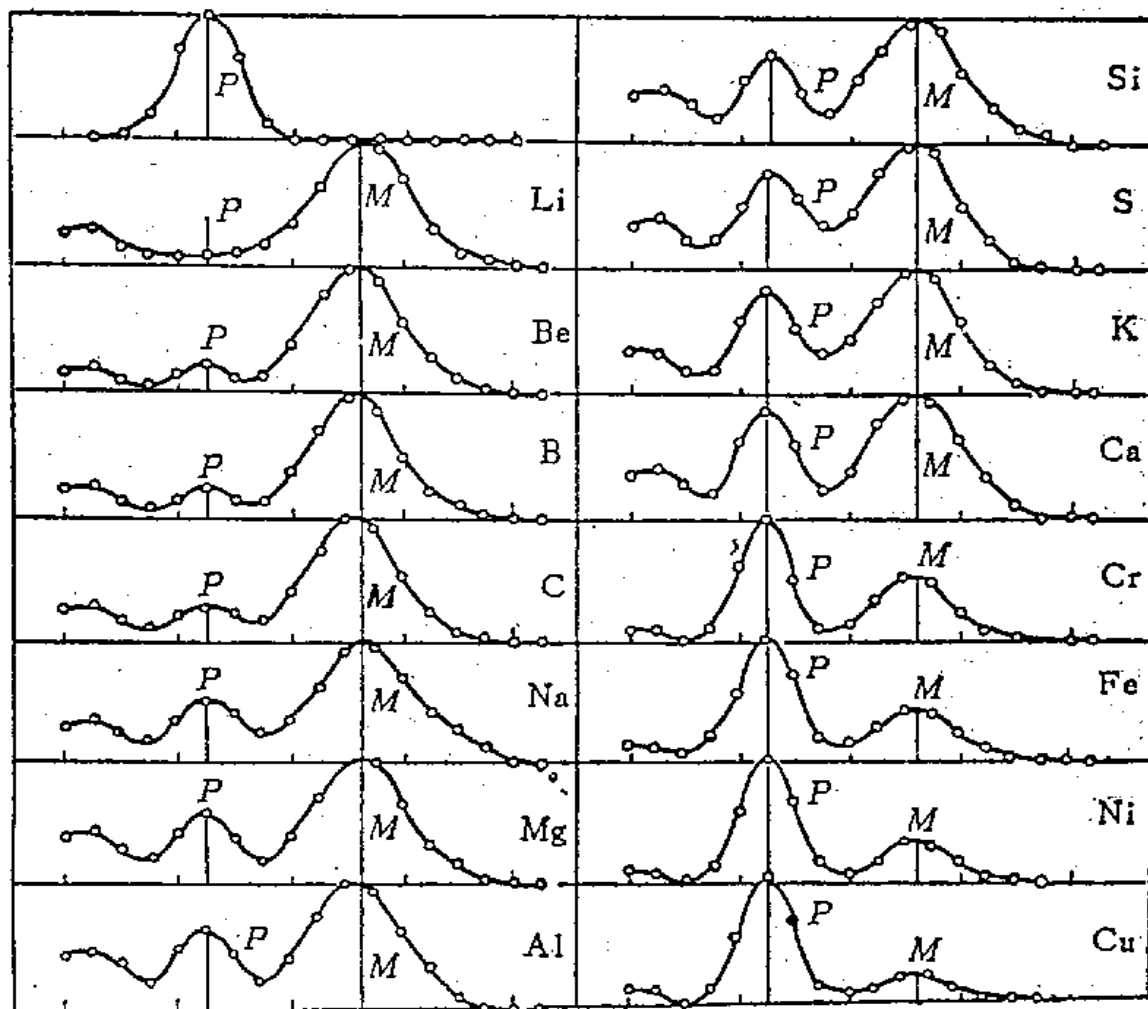
$$\cos \theta = \frac{p_0}{p_e} = \frac{h}{\lambda_0} / \sqrt{\left(\frac{h}{\lambda_0}\right)^2 + \left(\frac{h}{\lambda}\right)^2} = \frac{1}{\sqrt{1 + \left(\frac{\lambda_0}{\lambda}\right)^2}} \quad \theta = 44.2^\circ$$

*吴有训对康普顿效应研究的贡献

吴有训1923年参加了发现康普顿效应的研究工作，1925–26年他用银的X射线（ $\lambda_0 = 5.62\text{nm}$ ）为入射线，以15种轻重不同的元素为散射物质，在同一散射角（ $\varphi = 120^\circ$ ）测量各种波长的散射光强度，作了大量X射线散射实验。这对证实康普顿效应作出了重要贡献。

吴有训的康普顿效应散射实验曲线：

散射角
 $\varphi = 120^\circ$



曲线表明： 1、 $\Delta\lambda$ 与散射物质无关，仅与散射角有关。

2、轻元素 $I_\lambda > I_{\lambda_0}$ ，重元素 $I_\lambda < I_{\lambda_0}$ 。

吴有训工作的意义：

- 证实了康普顿效应的普遍性
- 证实了两种散射线线的产生机制：

λ — 外层电子（自由电子）散射

λ_0 — 内层电子（整个原子）散射

在康普顿的一本著作 “X – Rays in theory and experiment”（1935）中，有19处引用了吴有训的工作。书中两图并列作为康普顿效应的证据。



20世纪50年代的吴有训

吴有训（1897—1977）

物理学家、教育家、
中国科学院副院长，
1928年被叶企孙聘为清
华大学物理系教授，
曾任清华大学物理系
主任、理学院院长。

对证实康普顿效应
作出了重要贡献

* 康普顿散射公式的推导:

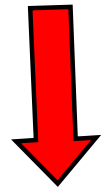
$$\frac{h\nu_0}{c}\vec{e}_0 = \frac{h\nu}{c}\vec{e} + m\vec{V} \quad \Rightarrow \quad m\vec{V} = \frac{h\nu_0}{c}\vec{e}_0 - \frac{h\nu}{c}\vec{e}$$

$$m^2V^2 = \left(\frac{h\nu_0}{c}\right)^2 + \left(\frac{h\nu}{c}\right)^2 - 2\frac{h^2\nu\nu_0}{c^2}\vec{e}_0 \cdot \vec{e}$$

$$= \left(\frac{h\nu_0}{c}\right)^2 + \left(\frac{h\nu}{c}\right)^2 - 2\frac{h^2\nu\nu_0}{c^2}\cos\varphi$$

$$m^2V^2c^2 = h^2\nu_0^2 + h^2\nu^2 - 2h^2\nu\nu_0\cos\varphi$$

$$h\nu_0 + m_0c^2 = h\nu + mc^2$$



$$mc^2 = -h\nu + h\nu_0 + m_0c^2$$



$$\begin{aligned} m^2c^4 &= h^2\nu^2 + h^2\nu_0^2 + m_0^2c^4 \\ &\quad - 2h^2\nu\nu_0 - 2h\nu m_0c^2 + 2h\nu_0 m_0c^2 \end{aligned}$$

$$m^2 c^4 = h^2 \nu^2 + h^2 \nu_0^2 + m_0^2 c^4 \\ - 2h^2 \nu \nu_0 - 2h \nu m_0 c^2 + 2h \nu_0 m_0 c^2$$

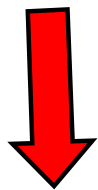
$$m^2 V^2 c^2 = h^2 \nu_0^2 + h^2 \nu^2 - 2h^2 \nu \nu_0 \cos \varphi$$



$$m^2 c^4 (1 - V^2 / c^2) = m_0^2 c^4 - 2h^2 \nu \nu_0 \\ - 2h \nu m_0 c^2 + 2h \nu_0 m_0 c^2 + 2h^2 \nu \nu_0 \cos \varphi$$

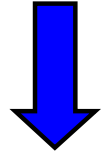
$$m^2 c^4 (1 - V^2 / c^2) = m_0^2 c^4 - 2h^2 \nu \nu_0 \\ - 2h \nu m_0 c^2 + 2h \nu_0 m_0 c^2 + 2h^2 \nu \nu_0 \cos \varphi$$

$$m = \frac{m_0}{\sqrt{1 - V^2 / c^2}}$$



$$\nu_0 m_0 c^2 - \nu m_0 c^2 = h \nu \nu_0 - h \nu \nu_0 \cos \varphi$$

$$\nu_0 m_0 c^2 - \nu m_0 c^2 = h \nu \nu_0 - h \nu \nu_0 \cos \varphi$$



$$\frac{c}{\nu} - \frac{c}{\nu_0} = \frac{h}{m_0 c} (1 - \cos \varphi)$$

$$\lambda - \lambda_0 = \frac{h}{m_0 c} (1 - \cos \varphi)$$

